

結晶点群に基づく8の字解からの分岐解の対称性

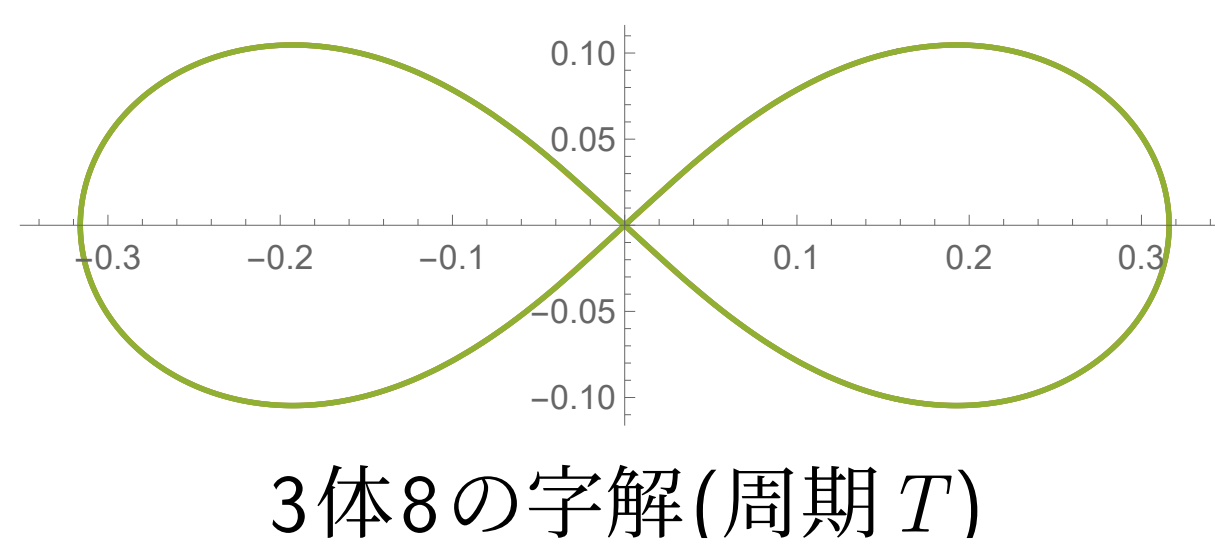
福田 宏¹, 藤原 俊朗¹, 尾崎 浩司²

¹北里大学一般教育部, ²東海大学理系教育センター

3体8の字解の対称性 結晶点群 D_{6h}

8の字解 $q(t)$ は C, S, M, μ_z で不変. これらは C と S が非可換 $CS = S^{-1}C$ で点群 D_{6h} を成す.

- $Cq \equiv \sigma q(t - T/3), \sigma$: 粒子の巡回置換, $C^3 = 1$,
- $Sq \equiv -\tau q(-t), \tau$: 粒子1, 2の入替, $S^2 = 1$,
- $Mq \equiv \mu_x q(t - T/2), \mu_x$: x 座標反転, $\mu_x^2 = 1$,
- μ_z : z 座標反転, $\mu_z^2 = 1$.



分岐と直交表現

Lagrangian

$$L = \dot{q}^2/2 - U(q),$$

の周期解 q がパラメタ $\xi = \xi_b$ で周期解 q_b に分岐する時, Hessian

$$H(q; \xi) = -d^2/dt^2 + \partial^2 L/\partial q^2$$

の固有値を $\lambda(\xi)$, 固有空間の正規直交基底を $\phi(\xi)$, 列ベクトルを r とすると, $\xi \rightarrow \xi_b$ で $\lambda(\xi) \rightarrow 0, q_b \rightarrow q + \phi(\xi)r$. q を不変にする対称操作 g と $H(q; \xi)$ は実で可換なので, g のなす群 G の直交表現 $D(g)$ によって g は $g\phi = \phi D(g)$ と表される. 作用と内積も g で不変ならば,

定理 1 (分岐解の対称性 [1])

分岐解 $q_b \rightarrow q + \phi r$ は, 固有関数 ϕr の対称性

$$G(r) = \{g | g \in G, D(g)r = r, r \neq 0\}$$

をもつ.

定理 2 (作用の対称性 [1])

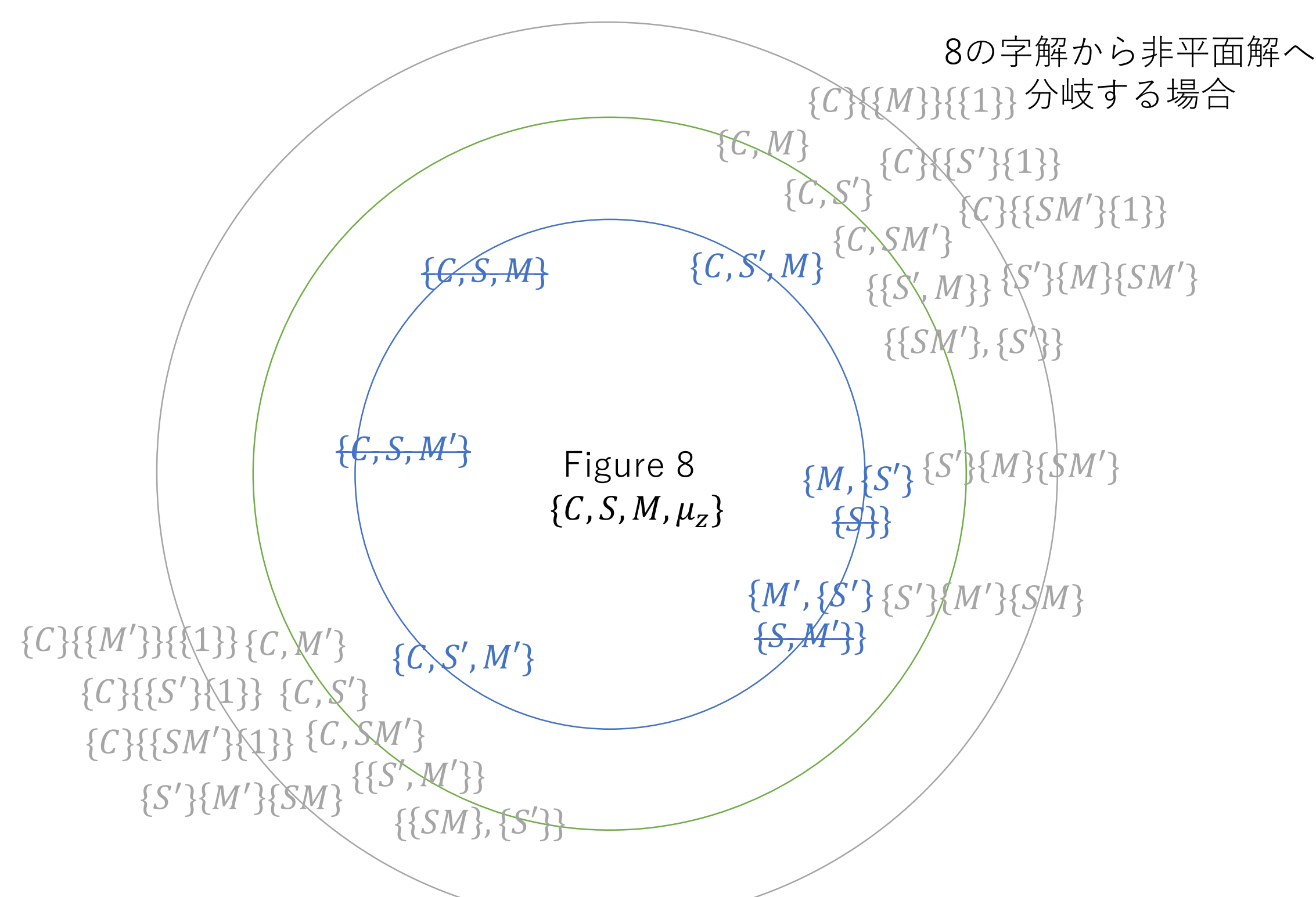
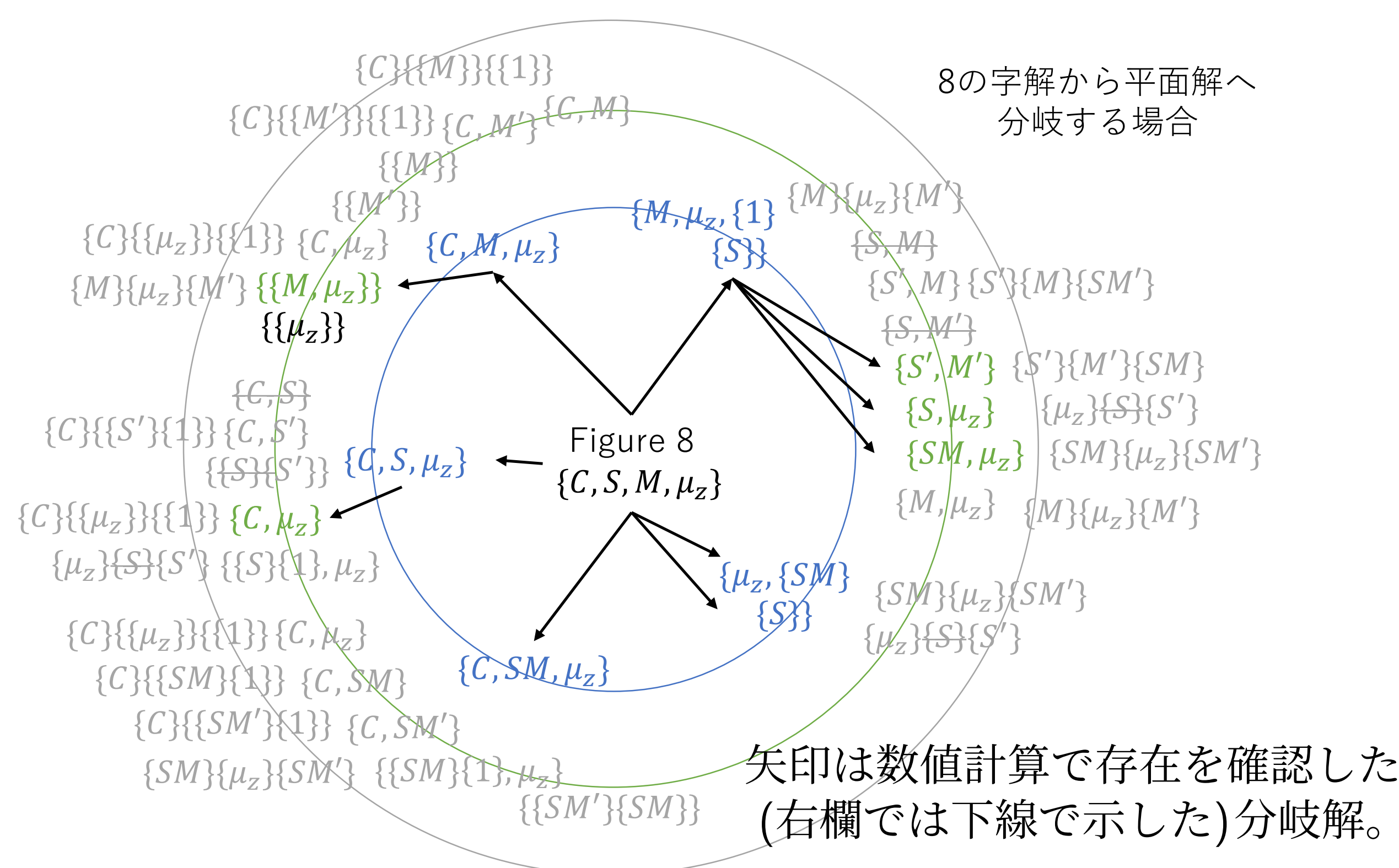
分岐解 $q_b \rightarrow q + \phi r$ に対して, ϕ 以外の次元を停留にして, 固有空間に縮小した作用 $S_{LS}(r)$ は, その主要項 $S(q + \phi r)$ と同じ対称性 $S_{LS}(D(g)r) = S_{LS}(r)$ をもつ.

可能な分岐解の対称性

右欄に, 8の字解(青)と分岐解(緑)の対称性 G の生成元の既約直交表現(小括弧内)[2] と, 定理1による分岐解の対称性 $G(r)$ の記号と生成元(中括弧内)を示す. 2次元表現の図は, r 平面に生成元と, 定理2による $S_{LS}(r)$ の対称性(同じ種類の丸印が同値な点)を表す. $S' = \mu_z S, M' = \mu_z M$,

$$I = \begin{pmatrix} 1 & 0 \\ 0 & 1 \end{pmatrix}, J = \begin{pmatrix} -1 & 0 \\ 0 & 1 \end{pmatrix}, R(n) = \begin{pmatrix} \cos 2\pi/n & -\sin 2\pi/n \\ \sin 2\pi/n & \cos 2\pi/n \end{pmatrix}, G(\theta) = G \left(\begin{pmatrix} \cos \theta \\ \sin \theta \end{pmatrix} \right),$$

とする. 下図は, $G(r)$ の生成元を中括弧内に記し, 同心円状に配置した分岐の全体図である. 2次元表現は, 2重の中括弧で $C^x = 1$ の場合の生成元を記した. なお, xy 面内の平面運動は μ_z 対称で, μ_z 対称でない解は非平面運動 (NP). また, SC^x 対称な解は平面解で, μ_z を伴わない $SC^x = C^{-x}S$ 対称は不可能 (**又は打消線).



8の字解 $D_{6h}\{C, M, S, \mu_z\}$ からの分岐解の対称性

- $(D(CM), D(S), D(\mu_z)) = (1, 1, 1); G(r) = D_{6h}\{C, M, S, \mu_z\}$.
- $(1, -1, 1); C_{6h}\{C, M, \mu_z\}$,
- $(-1, 1, 1); D_6\{C, S, \mu_z\}$,
- $(-1, -1, 1); G(h) = D_6\{C, SM, \mu_z\}$,
- $(1, 1, -1); D_6\{C, M, S\}^{**}$,
- $(1, -1, -1); D_6\{C, M, S'\}^{NP}$,
- $(-1, 1, -1); D_6\{C, S, M'\}^{**}$,
- $(-1, -1, -1); D_6\{C, S', M'\}^{NP}$.
- $(R(3), J, I)$:

$$G(\theta) = \begin{cases} D_{2h}\{SC^{2n+1}, M, \mu_z\}, & \theta = \frac{\pi}{3}n + \frac{\pi}{6} \\ D_2\{M, \mu_z\}, & \text{その他} \end{cases}$$

- $(R(3), J, -I)$:

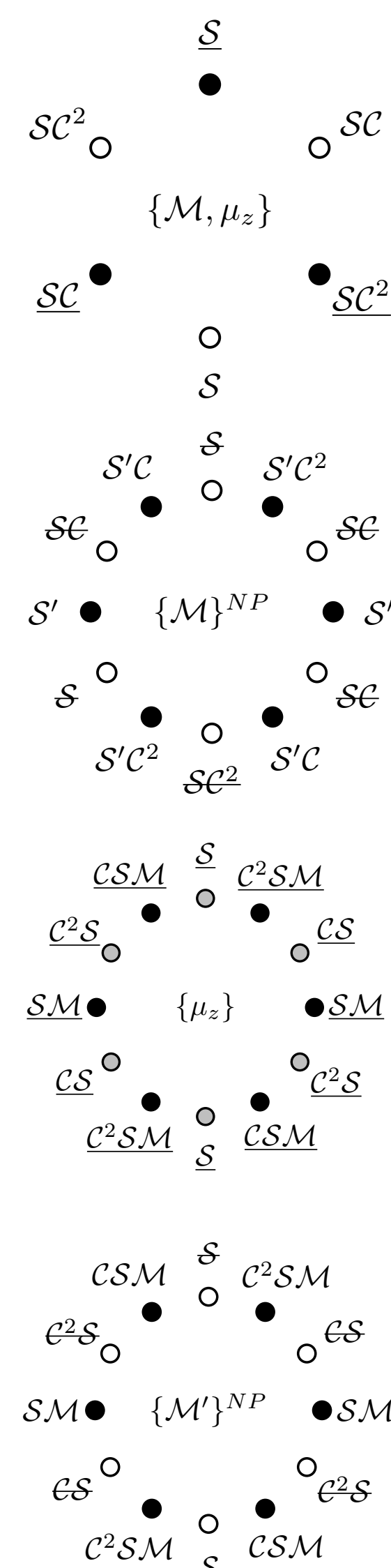
$$G(\theta) = \begin{cases} D_2\{M, S' C^{2n}\}^{NP}, & \theta = \frac{\pi}{3}n \\ D_2\{M, SC^{2n+1}\}^{**}, & \theta = \frac{\pi}{3}n + \frac{\pi}{6} \\ C_2\{M\}^{NP}, & \text{その他} \end{cases}$$

- $(R(6), J, I)$:

$$G(\theta) = \begin{cases} \begin{cases} D_2\{C^n SM, \mu_z\}, & \text{even } n, \\ D_2\{C^n S, \mu_z\}, & \text{odd } n, \end{cases} & \theta = \frac{\pi}{6}n, \\ C_2\{\mu_z\}, & \text{その他} \end{cases}$$

- $(R(6), J, -I)$:

$$G(\theta) = \begin{cases} \begin{cases} D_2\{C^n SM, M'\}^{NP}, & \text{even } n, \\ D_2\{C^n S, M'\}^{**}, & \text{odd } n, \end{cases} & \theta = \frac{\pi}{6}n, \\ C_2\{M'\}^{NP}, & \text{その他} \end{cases}$$

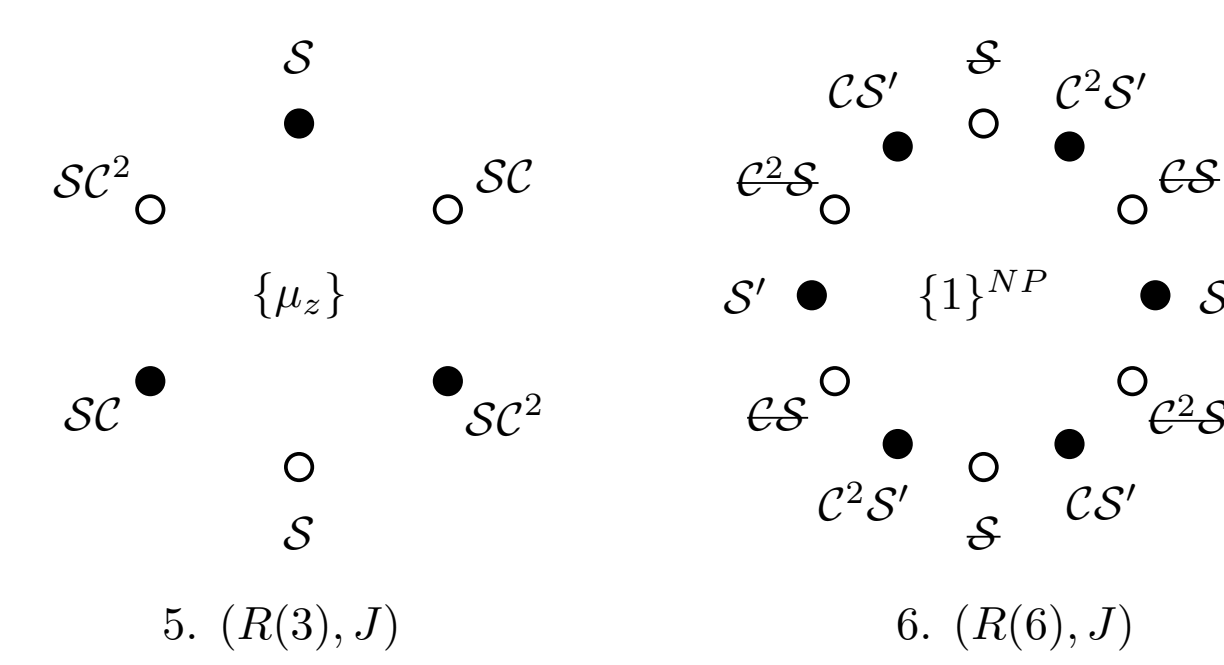


分岐解 $D_6\{C, S, \mu_z\}$ からの分岐解の対称性

- $(D(\mu_z C), D(S)) = (1, 1); G(r) = D_6\{C, \mu_z, S\}$
- $(1, -1); C_6\{C, \mu_z\}$
- $(-1, 1); D_3\{C, S\}^{**}$
- $(-1, -1); D_3\{C, S'\}$

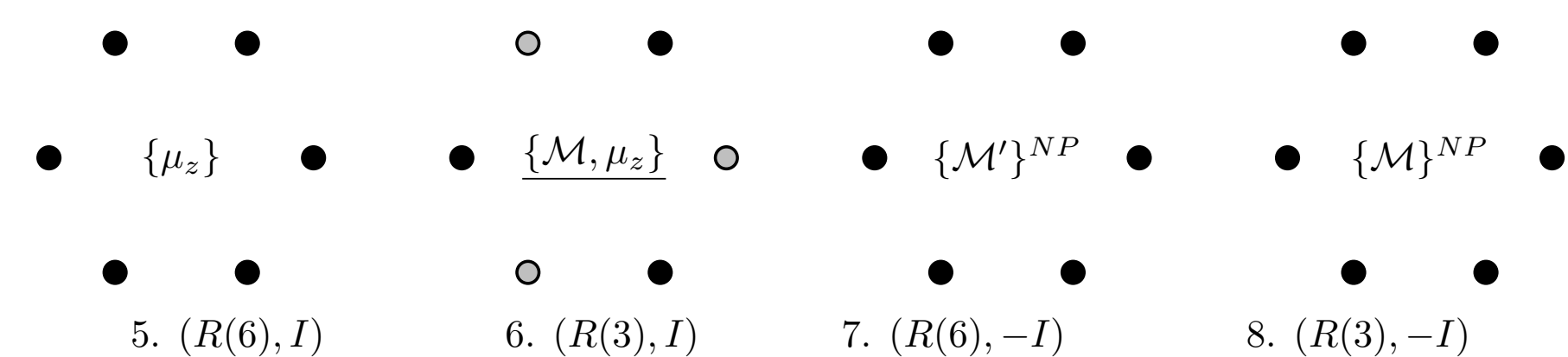
$$G(\theta) = \begin{cases} D_2\{\mu_z, SC^{2n+1}\}, & \theta = \frac{\pi}{3}n + \frac{\pi}{6} \\ C_2\{\mu_z\}, & \text{その他} \end{cases}$$

$$G(\theta) = \begin{cases} \begin{cases} C_2\{C^n S'\}^{NP}, & \text{even } n, \\ C_2\{C^n S\}^{**}, & \text{odd } n, \end{cases} & \theta = \frac{\pi}{6}n, \\ \{1\}^{NP}, & \text{その他} \end{cases}$$



分岐解 $C_{6h}\{C, M, \mu_z\}$ からの分岐解の対称性

- $(D(CM), D(\mu_z)) = (1, 1); G(r) = C_{6h}\{C, M, \mu_z\}$
- $(1, -1); C_6\{C, M\}^{NP}$
- $(-1, 1); C_6\{C, \mu_z\}$
- $(-1, -1); C_6\{C, M'\}^{NP}$
- $(R(6), I); C_2\{\mu_z\}$
- $(R(3), I); D_2\{M, \mu_z\}$
- $(R(6), -I); C_2\{M'\}^{NP}$
- $(R(3), -I); C_2\{M\}^{NP}$



分岐解 $D_{2h}\{S, M, \mu_z\}$ からの分岐解の対称性

- $(D(S), D(M), D(\mu_z)) = (1, 1, 1); G(r) = D_{2h}\{S, M, \mu_z\}$
- $(1, -1, -1); D_2\{S, M'\}^{**}$
- $(1, 1, -1); D_2\{S, M\}^{**}$
- $(1, -1, 1); D_2\{S, \mu_z\}$
- $(-1, -1, 1); D_2\{SM, \mu_z\}$
- $(-1, 1, -1); D_2\{M, S'\}^{NP}$
- $(-1, -1, -1); D_2\{S', M'\}^{NP}$
- $(-1, 1, 1); D_2\{M, \mu_z\}$

参考文献

[1] Toshiaki Fujiwara, Hiroshi Fukuda and Hiroshi Ozaki, *Variational Principle of Action and Group Theory for Bifurcation of Figure-eight solutions*, arXiv:2002.03496v3 [math-ph] (15 Feb 2020)

[2] 福田宏 『Mathematicaによる3体8の字解の分岐解析に必要な点群の既約直交表現』, 北里大学一般教育紀要(2024出版予定)